



НАЦІОНАЛЬНИЙ ТЕХНІЧНИЙ УНІВЕРСИТЕТ «ХАРКІВСЬКИЙ ПОЛІТЕХНІЧНИЙ ІНСТИТУТ»

СТВОРЕННЯ БАГАТОКОНТУРНОЇ ІНТЕЛЕКТУАЛЬНОЇ СИСТЕМИ КІБЕРЗАХИСТУ

КУШНЕРЬОВ О. С.
СОКОЛОВ А. В.
ПІКУЛЬ Р. В.
ДУНАЄВ С. В.



Актуальність теми роботи



ПРАКТИКА

CERT-UA
Computer Emergency Response Team of Ukraine

Про CERT-UA | Новини | Рекомендації | Зв'яжіться з нами | Контакти |

Цільова активність UAC-0212 у відношенні розробників та постачальників рішень АСУТП з метою здійснення кібератак на об'єкти критичної інфраструктури України (CERT-UA#13702)

Починаючи з другої половини 2024 року було відмічено застосування нових тактик, технік та процедур, що, серед іншого, передбачали відправку жертві PDF-документу з посиланням, відвідування якого, у поєднанні з експлуатацією вразливості CVE-2024-38213, призводило до завантаження на комп'ютер LNK-файлу (розширення "pdf.lnk"), запуск якого призводив до виконання PowerShell-команди, що забезпечувала завантаження та відображення документу-приманки, а також завантаження, забезпечення персистентності (гілка "Run") та запуск EXE/DLL файлів.

<http://surl.li/qpqjlu>

23.02.2025 Читати далі →

наслідки для національної безпеки і оборони

розробка багатоконтурної інтелектуальної системи кіберзахисту є необхідним кроком для підвищення рівня безпеки та адаптивності до сучасних кібератак

Мета – створення багатоконтурної інтелектуальної системи кіберзахисту об'єктів критичної інфраструктури та оцінка її потокового стану захищеності об'єкту.

Конкурентоспроможність

4
монографій
/з них 1 – за кордоном/

42
наукові статті
/з них 21 – в журн. категорії А/

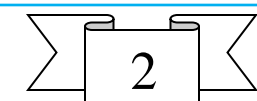
1
патентів
України на кор. модель

3
авт. свідоцтва на твор

27/7
Scopus

5/1
Web of Science

92/16
Google Scholar

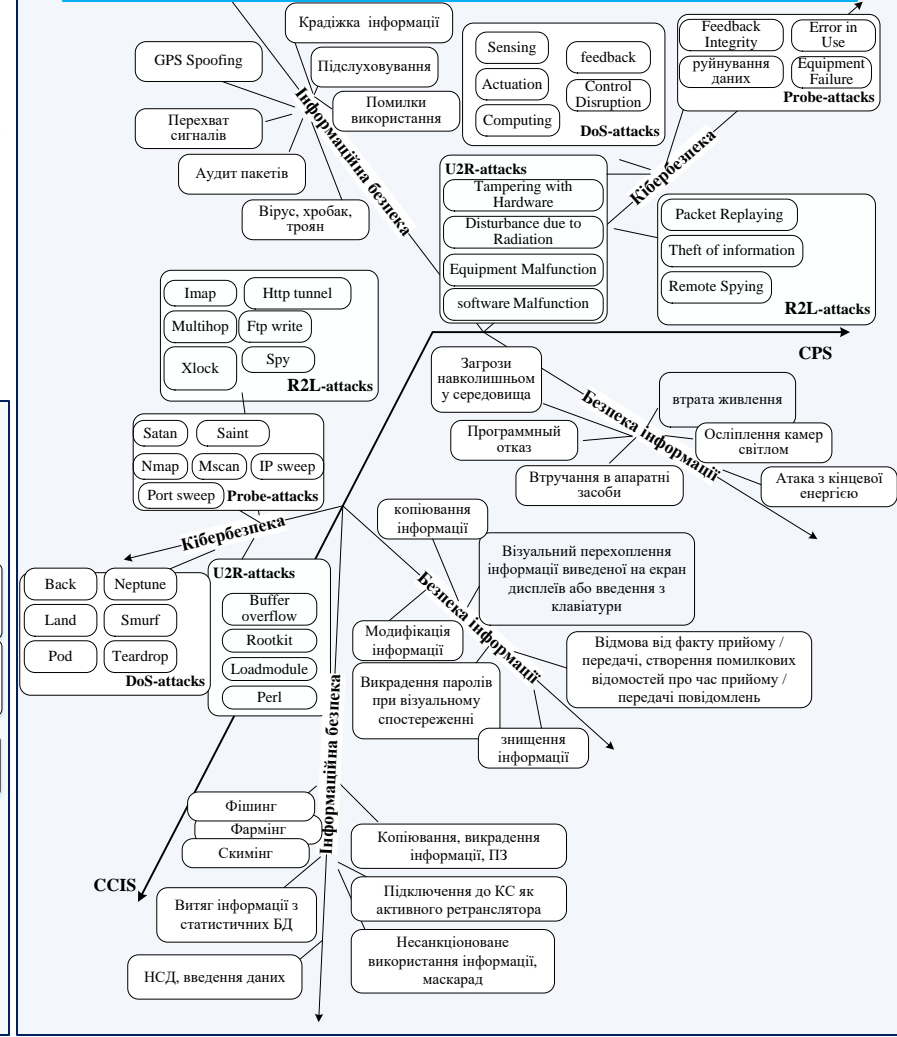


АКТУАЛЬНІСТЬ
МЕТА
КОНКУРЕНТО-СПРОМОЖНІСТЬ

Теоретичні основи

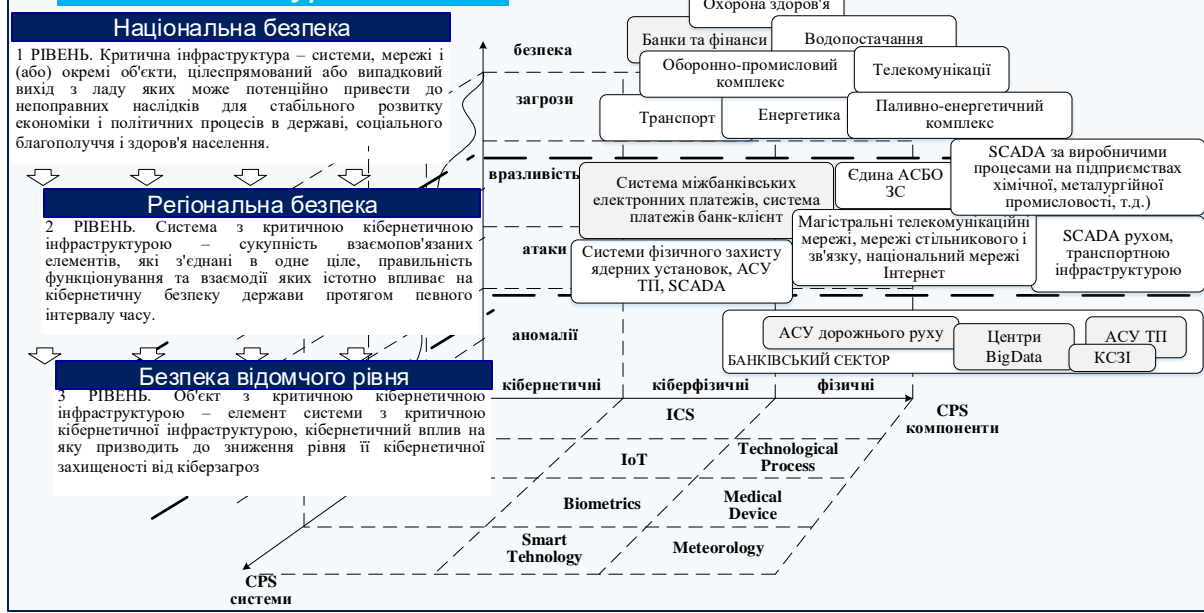


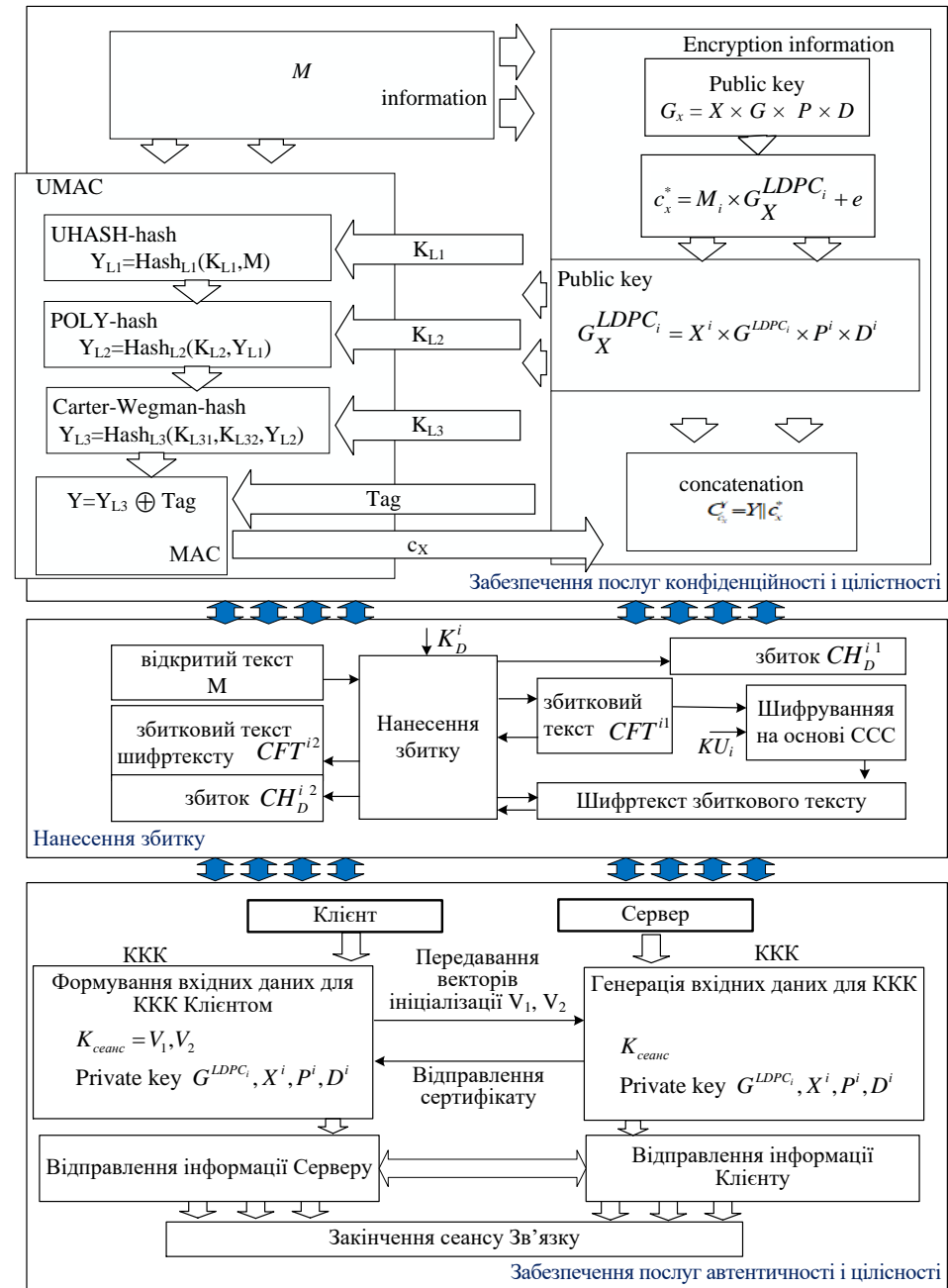
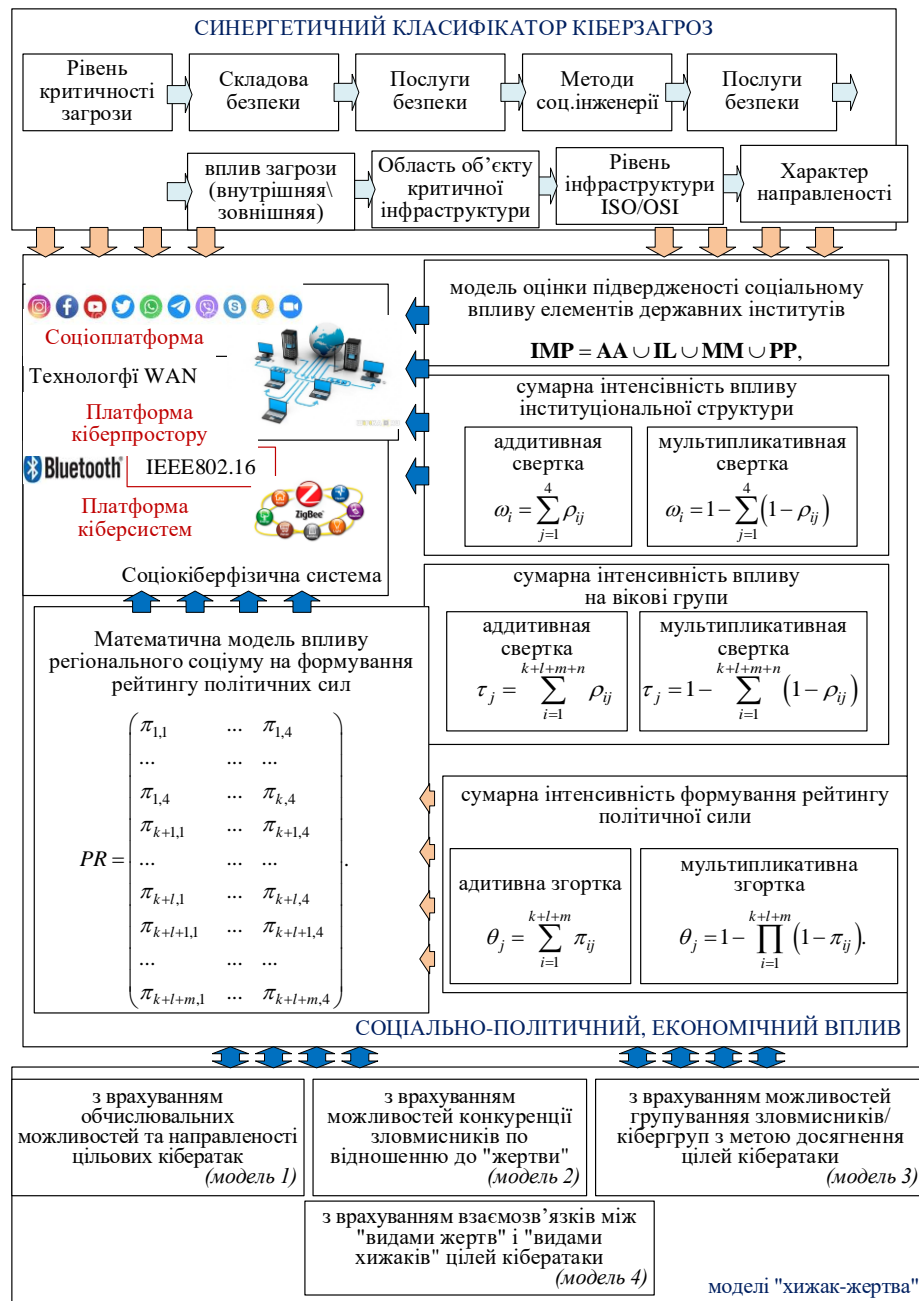
Синергетична модель загроз безпеці



ТЕОРЕТИЧНІ ОСНОВИ ПОБУДОВИ БАГАТОКОНТУРНИХ СИСТЕМ БЕЗПЕКИ

Багатоконтурність ОКІ





МАТЕМАТИЧНИЙ
ОПИС ФОРМУВАННЯ
КОРТЕЖУ ЦІЛЬОВОЇ
АТАКИ НА
ЕЛЕМЕНТИ
ІНФРАСТРУКТУРИ
КІБЕРФІЗИЧНИХ
СИСТЕМ



$$C^i_{\text{threat vector}} = \left\{ L^1_{\text{criticality of the threat}}, L^2_{\text{security component}}, L^3_{\text{security service}}, L^4_{\text{the nature of the threat's direction}}, L^5_{\text{threat impact level}}, L^6_{\text{social impact engineering}}, L^7_{\text{platform contour}} \right\},$$

$$L^1_{\text{criticality of the threat}} \in \left\{ \begin{array}{l} 01 - \text{критичний, 02 - високий, 03 - середній,} \\ 04 - \text{низький, 05 - занижений} \end{array} \right\};$$

$$L^2_{\text{security component}} \in \left\{ \begin{array}{l} 01 - \text{кібербезпека, 02 - інформаційна безпека,} \\ 03 - \text{безпека інформації} \end{array} \right\};$$

$$L^3_{\text{security service}} \in \left\{ \begin{array}{l} 01 - \text{цілісність, 02 - конфіденційність, 03 - доступність,} \\ 04 - \text{автентичність, 05 - приналежність} \end{array} \right\};$$

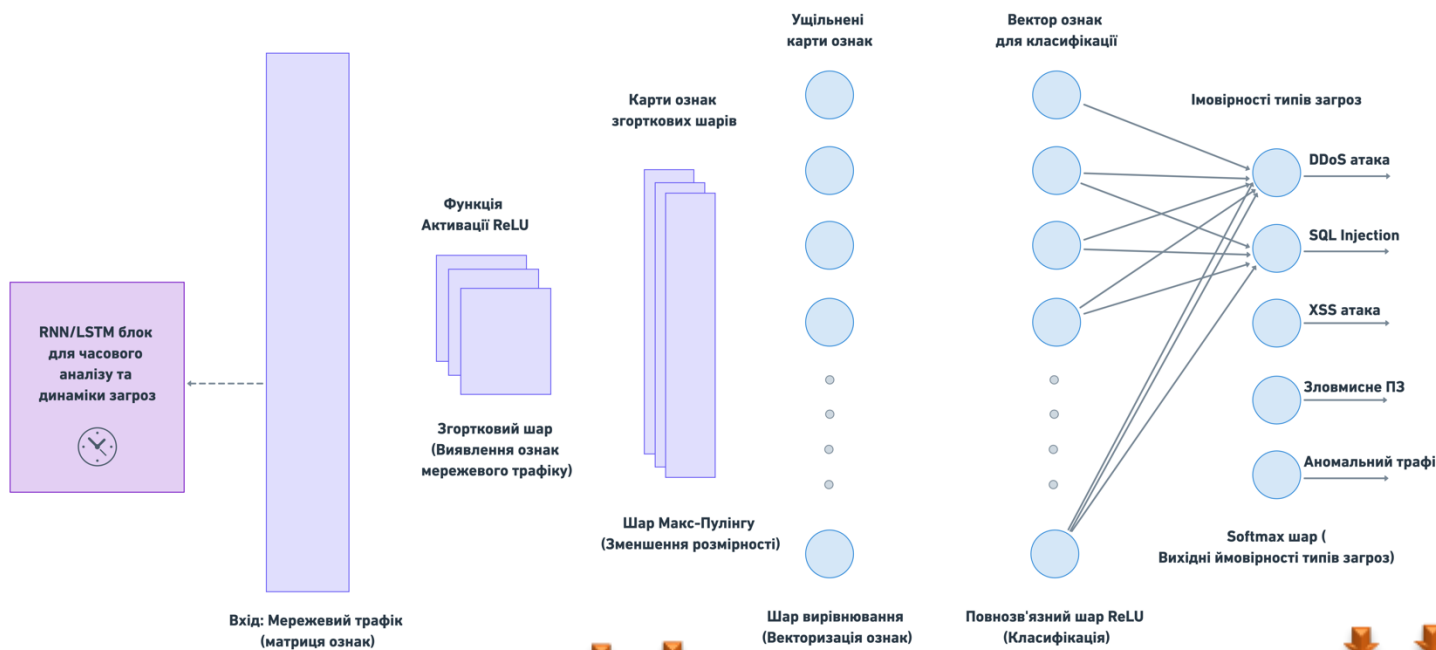
$$L^4_{\text{the nature of the threat's direction}} \in \left\{ \begin{array}{l} 01 - \text{інженерно-технічний, 02 - організаційний,} \\ 03 - \text{нормативно-правовий} \end{array} \right\};$$

$$L^5_{\text{threat impact level}} \in \left\{ \begin{array}{l} 01 - \text{фізичний рівень, 02 - мережевий рівень,} \\ 03 - \text{рівень ОС, 04 - рівень СУБД,} \\ 05 - \text{рівень додатків та сервісів, 06 - рівень IoT,} \\ 07 - \text{рівень СЗІ} \end{array} \right\};$$

$$L^6_{\text{social impact engineering}} \in \left\{ \begin{array}{l} 01 - \text{злам системи, 02 - компрометація системи,} \\ 03 - \text{компрометація даних,} \\ 04 - \text{находження критичних точок системи,} \\ 05 - \text{збір інформації} \end{array} \right\};$$

$$L^7_{\text{platform contour}} \in \left\{ \begin{array}{l} 01 - \text{внутрішній, 02 - зовнішній,} \\ 03 - \text{внутрішній та зовнішній} \end{array} \right\}.$$

Архітектура CNN + RNN/LSTM для зовнішнього контуру



Застосування:

- ❖ Виявлення специфічних сигнатур мережевих атак (DDoS, SQL injection, XSS).
- ❖ Аналіз у реальному часі потоку пакетів з метою попередження небажаного трафіку.
- ❖ Прогнозування розвитку атак (наприклад, багатовступеневі DDoS-атаки).
- ❖ Аналіз послідовних логів для виявлення аномальних патернів у часі.
- ❖ Виявлення тенденцій у поведінці користувачів та пристроїв (IoT, Smart City), що сигналізують про можливі загрози.

КОНЦЕПЦІЯ НЕЙРОМЕРЕЖ В КОНТУРАХ КІБЕРЗАХИСТУ

Інтеграція в ЗОВНІШНІЙ КОНТУР:

- ❖ CNN обробляє та класифікує вхідний трафік за типом атаки,
- ❖ RNN/LSTM виконує послідовний (часовий) аналіз для прогнозування та виявлення аномалій у динаміці.

Базове RNN-рівняння:

$$h_t = \sigma(W_{xh}x_t + W_{hh}h_{t-1} + b_h)$$

LSTM-комірка (Long Short-Term Memory):

$$\begin{aligned} h_t &= o_t \odot \tanh(C_t) o_t \\ &= \sigma(W_o[h_{t-1}, x_t] + b_o), C_t \\ &= f_t \odot C_{t-1} + i_t \odot \tilde{C}_t, \tilde{C}_t \\ &= \tanh(W_c[h_{t-1}, x_t] + b_c), f_t \\ &= (W_f[h_{t-1}, x_t] + b_f), i_t \\ &= \sigma(W_i[h_{t-1}, x_t] + b_i), \end{aligned}$$

Операція згортання (Convolution):

$$z_{i,j}^{(k)} = \sum_{m=0}^{M-1} \sum_{n=0}^{N-1} x_{i+m,j+n}^{(in)} w_{m,n}^{(k)} + b^{(k)}$$

Функція активації та пулінг (Pooling):

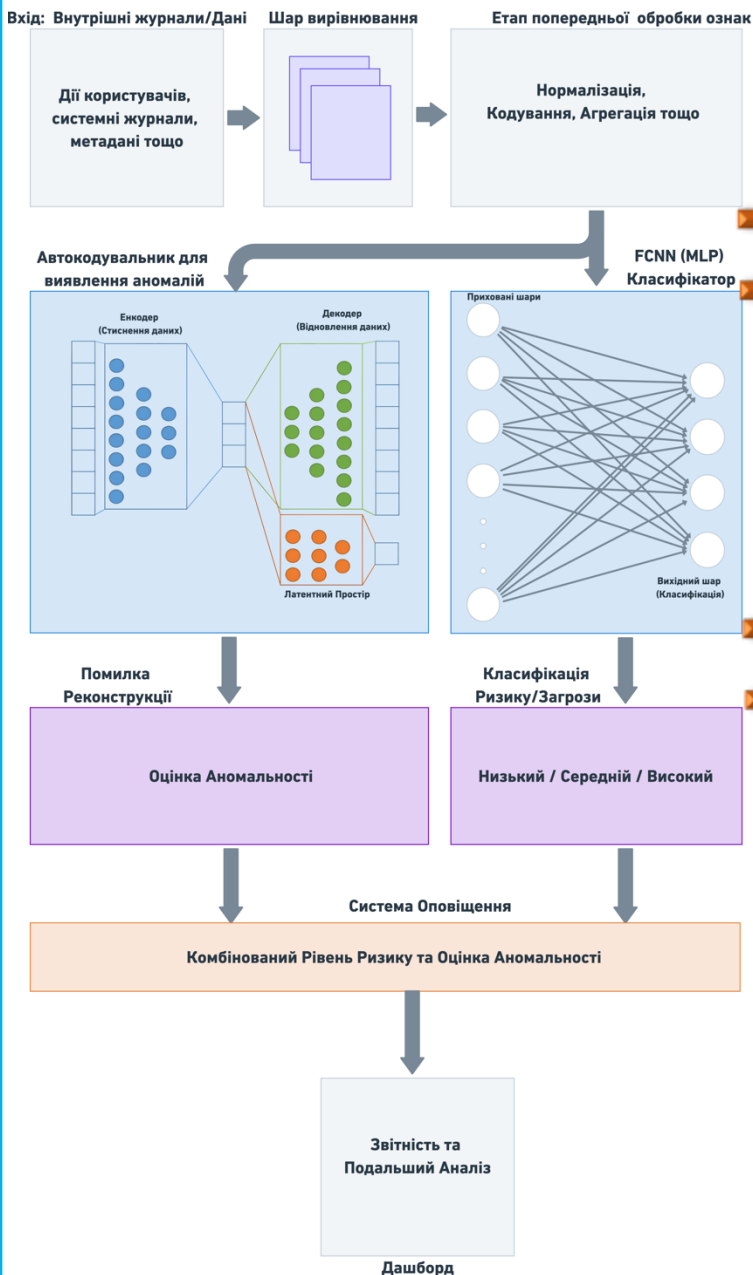
$$a_{i,j}^{(k)} = \sigma(z_{i,j}^{(k)}), p_{i,j} = \text{pool}(\{a_{u,v}^{(k)}\})$$

Класифікаційний блок (Fully Connected Layer):

$$\hat{y} = \text{Softmax}(W_{fc} \cdot \text{Flatten}(p) + b_{fc})$$



Архітектура FCNN + Autoencoders для внутрішнього контуру



Формалізація MLP:

$$\hat{y} = \sigma(W^{(3)} h^{(2)} + b^{(3)}),$$

$$h^{(2)} = \sigma(W^{(2)} h^{(1)} + b^{(2)}),$$

$$h^{(1)} = \sigma(W^{(1)} x + b^{(1)}),$$

Функція втрат (Loss Function):

$$\mathcal{L} = -\frac{1}{N} \sum_{i=1}^N [y_i \log(\hat{y}_i) + (1 - y_i) \log(1 - \hat{y}_i)]$$

Енкодер та декодер:

$$z = \sigma(W_e x + b_e), \hat{x} = \sigma(W_d z + b_d)$$

Функція реконструкції (Reconstruction Loss):

$$\mathcal{L} = \frac{1}{N} \sum_{i=1}^N \|x_i - \hat{x}_i\|^2$$

Інтеграція у ВНУТРІШНІЙ КОНТУР:

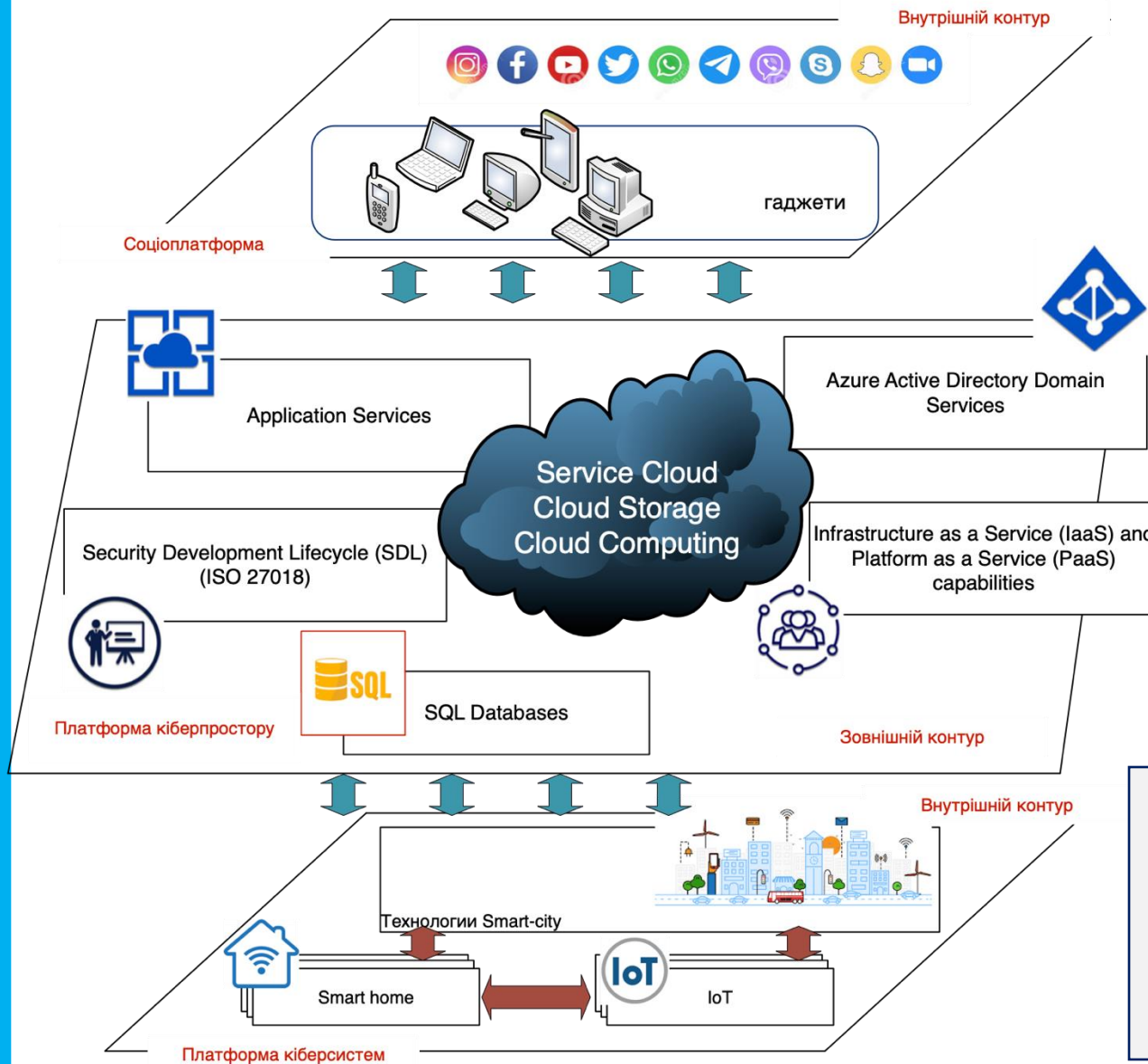
- ❖ FCNN забезпечує класифікацію та ранжування внутрішніх подій за критичністю.
- ❖ Autoencoder постійно моніторить системні журнали й виявляє нетипові патерни, що свідчать про можливі латентні загрози.

Застосування:

- ❖ Визначення рівня критичності (0 – низький, 1 – середній, 2 – високий) внутрішніх інцидентів.
- ❖ Пріоритезація подій для оперативної реакції SOC (Security Operation Center).
- ❖ Виявлення внутрішніх відхилень від «нормальної» поведінки системи або користувачів.
- ❖ Пошук компрометацій даних чи змін у конфігурації, що не відповідають типовим патернам.



КОНЦЕПЦІЯ БАГАТОКОНТУРНОЇ СИСТЕМИ БЕЗПЕКИ



Загрози внутрішнього контуру з урахуванням гібридності та синергії для трьох платформ

соціальні мережі

$$W_{\text{hybrid } C, I, A, Au, Af \text{ synerg}_{1\text{platform}}}^{SS \text{ ISL}} = W_{\text{synerg}_{1\text{platform}}}^{SS \text{ ISL}} \quad C \quad I \quad W_{\text{synerg}_{1\text{platform}}}^{SS \text{ ISL}} \quad I$$

$$I \quad W_{\text{synerg}_{1\text{platform}}}^{SS \text{ ISL}} \quad A \quad I \quad W_{\text{synerg}_{1\text{platform}}}^{SS \text{ ISL}} \quad Au \quad I \quad W_{\text{synerg}_{1\text{platform}}}^{SS \text{ ISL}} \quad Inv$$

кіберпростір

$$W_{\text{hybrid } C, I, A, Au, Af \text{ synerg}_{2\text{platform}}}^{CS \text{ ISL}} = W_{\text{synerg}_{2\text{platform}}}^{CS \text{ ISL}} \quad C \quad I \quad W_{\text{synerg}_{2\text{platform}}}^{CS \text{ ISL}} \quad I$$

$$I \quad W_{\text{synerg}_{2\text{platform}}}^{CS \text{ ISL}} \quad A \quad I \quad W_{\text{synerg}_{2\text{platform}}}^{CS \text{ ISL}} \quad Au \quad I \quad W_{\text{synerg}_{2\text{platform}}}^{CS \text{ ISL}} \quad Inv$$

кіберфізичні системи

$$W_{\text{hybrid } C, I, A, Au, Af \text{ synerg}_{3\text{platform}}}^{CPS \text{ ISL}} = W_{\text{synerg}_{3\text{platform}}}^{CPS \text{ ISL}} \quad C \quad I \quad W_{\text{synerg}_{3\text{platform}}}^{CPS \text{ ISL}} \quad I$$

$$I \quad W_{\text{synerg}_{3\text{platform}}}^{CPS \text{ ISL}} \quad A \quad I \quad W_{\text{synerg}_{3\text{platform}}}^{CPS \text{ ISL}} \quad Au \quad I \quad W_{\text{synerg}_{3\text{platform}}}^{CPS \text{ ISL}} \quad Inv$$

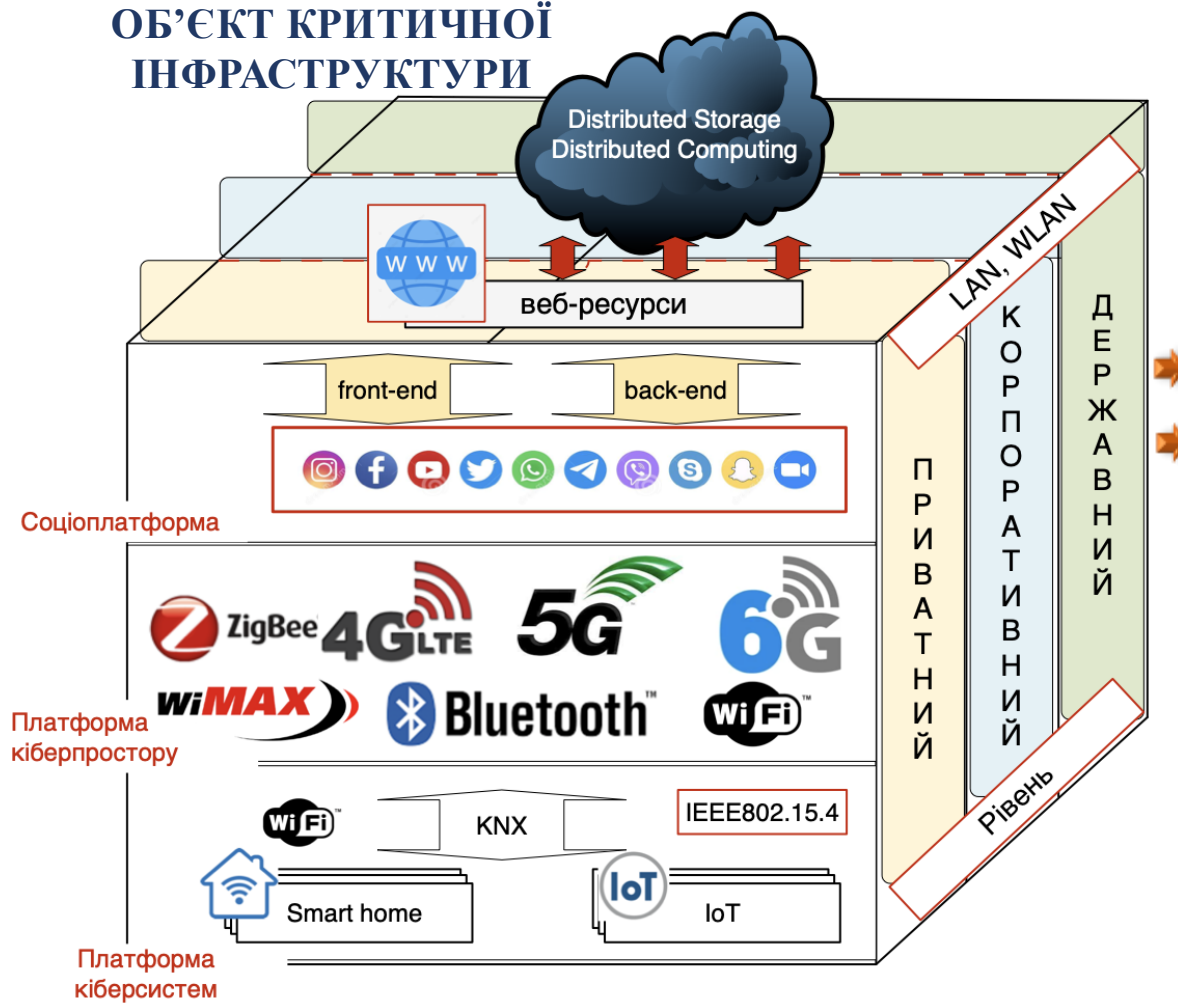
Загальна оцінка загроз внутрішнього контуру

$$W_{\text{hybrid } C, I, A, Au, Af \text{ synerg}_{1\text{platform}}}^{CPSS \text{ ISL}} = W_{\text{hybrid } C, I, A, Au, Af \text{ synerg}_{1\text{platform}}}^{SS \text{ ISL}} \quad U$$

$$U \quad W_{\text{hybrid } C, I, A, Au, Af \text{ synerg}_{2\text{platform}}}^{CS \text{ ISL}} \quad U \quad W_{\text{hybrid } C, I, A, Au, Af \text{ synerg}_{3\text{platform}}}^{CPS \text{ ISL}}$$



ОБ'ЄКТ КРИТИЧНОЇ ІНФРАСТРУКТУРИ



Загрози зовнішнього контуру з урахуванням гібридності та синергії

для трьох платформ

соціальні мережі

$$Q_{\text{hybrid } C, I, A, Au, Af \text{ synerg } 1\text{platform}}^{\text{SCS ESL}} = \left(Q_{\text{synerg } 1\text{platform}}^{\text{SCS ESL } C} U \sum_{i=1}^5 S_i^{\text{sthreats}} \times \alpha_i \right) I$$

$$I \left(Q_{\text{synerg } 1\text{platform}}^{\text{SS ESL}} U \sum_{i=1}^5 S_i^{\text{sthreats}} \times \alpha_i \right) I \left(Q_{\text{synerg } 1\text{platform}}^{\text{SCS ESL}} U \sum_{i=1}^5 S_i^{\text{sthreats}} \times \alpha_i \right) I$$

$$I \left(Q_{\text{synerg } 1\text{platform}}^{\text{SCS ESL } A} U \sum_{i=1}^5 S_i^{\text{sthreats}} \times \alpha_i \right) I \left(Q_{\text{synerg } 1\text{platform}}^{\text{SCS ESL } Au} U \sum_{i=1}^5 S_i^{\text{sthreats}} \times \alpha_i \right) I$$

$$I \left(Q_{\text{synerg } 1\text{platform}}^{\text{SCS ESL } Inv} U \sum_{i=1}^5 S_i^{\text{sthreats}} \times \alpha_i \right),$$

кіберпростір

$$Q_{\text{hybrid } C, I, A, Au, Af \text{ synerg } 2\text{platform}}^{\text{SCS ESL}} = \left(Q_{\text{synerg } 2\text{platform}}^{\text{SCS ESL } C} U \sum_{i=1}^5 S_i^{\text{sthreats}} \times \alpha_i \right) I$$

$$I \left(Q_{\text{synerg } 2\text{platform}}^{\text{SCS ESL } I} U \sum_{i=1}^5 S_i^{\text{sthreats}} \times \alpha_i \right) I \left(Q_{\text{synerg } 2\text{platform}}^{\text{SCS ESL } A} U \sum_{i=1}^5 S_i^{\text{sthreats}} \times \alpha_i \right) I$$

$$I \left(Q_{\text{synerg } 2\text{platform}}^{\text{SCS ESL } Au} U \sum_{i=1}^5 S_i^{\text{sthreats}} \times \alpha_i \right) I \left(Q_{\text{synerg } 2\text{platform}}^{\text{SCS ESL } Inv} U \sum_{i=1}^5 S_i^{\text{sthreats}} \times \alpha_i \right),$$

кіберфізичні системи

$$Q_{\text{hybrid } C, I, A, Au, Af \text{ synerg } 3\text{platform}}^{\text{SCS ESL}} = \left(Q_{\text{synerg } 3\text{platform}}^{\text{SCS ESL } C} U \sum_{i=1}^5 S_i^{\text{sthreats}} \times \alpha_i \right) I$$

$$I \left(Q_{\text{synerg } 3\text{platform}}^{\text{SCS ESL } I} U \sum_{i=1}^5 S_i^{\text{sthreats}} \times \alpha_i \right) I \left(Q_{\text{synerg } 3\text{platform}}^{\text{SCS ESL } A} U \sum_{i=1}^5 S_i^{\text{sthreats}} \times \alpha_i \right) I$$

$$I \left(Q_{\text{synerg } 3\text{platform}}^{\text{SCS ESL } Au} U \sum_{i=1}^5 S_i^{\text{sthreats}} \times \alpha_i \right) I \left(Q_{\text{synerg } 3\text{platform}}^{\text{SCS ESL } Inv} U \sum_{i=1}^5 S_i^{\text{sthreats}} \times \alpha_i \right),$$

Загальна оцінка загроз внутрішнього контуру

$$W_{\text{ESL}}^{\text{CPSS}} = W_{\text{hybrid } C, I, A, Au, Af \text{ synerg } 1\text{platform}}^{\text{SS ESL}} U$$

$$U W_{\text{hybrid } C, I, A, Au, Af \text{ synerg } 2\text{platform}}^{\text{CS ESL}} U W_{\text{hybrid } C, I, A, Au, Af \text{ synerg } 3\text{platform}}^{\text{CPS ESL}}$$

Загальна оцінка загроз багатоконтурній системі безпеки

$$Q_{\text{final}}^{\text{CPSS}} = Q_{\text{ISL}}^{\text{CPSS}} U Q_{\text{ESL}}^{\text{CPSS}}$$



Запропонована багатоконтурна інтелектуальна система кіберзахисту об'єкту охорони забезпечує не тільки об'єктивні оцінку потокового стану захищеності, оцінку можливості систем безпеки протидіяти цільовим атакам, а також забезпечує багатоконтурність захисту інформації на різних платформах, що забезпечує підвищення рівня безпеки об'єкта охорони у цілому.

Розроблений фреймворк оцінки кіберзахищеності об'єктів критичної інфраструктури демонструє високий рівень адаптації до сучасних викликів у сфері кібербезпеки.

На практиці на основі синергетичної моделі загроз безпеці розроблено веб-застосунок (<https://skl.khpi.edu.ua/>), який дозволяє в автоматизованому режимі одержувати результати експертного оцінювання впливу загрози на послугу безпеки

Реалізація багатоконтурної інтелектуальної системи кіберзахисту забезпечує можливість автоматизованого моніторингу та оцінки стану кіберзахищеності в режимі реального часу, що сприяє зменшенню часу реакції на інциденти.



Синергія класифікатора загроз

Synergic security solution
Availability Control Security

Формування класифікатора

Аналіз загроз

Синергія

Адмін панель

Вийти

Вагові коефіцієнти загроз (Всі поля повинні бути заповнені!)

Номер загрози: Пошук за номером загрози

Рівень критичності реалізації загрози

Критична Висока Середній Низька Дуже Низька

Стан забезпечення безпеки

Інформаційна безпека Кібербезпека Безпека інформації

Послуги безпеки (0 - min, 9 - max)

Конфіденційність:

Цілісність:

Автентичність:

Доступність:

Приналежність:

Характер спрямованості загрози

Рівень інфраструктури ISO/OSI

Загроза соціальної інженерії

Інформація про загрозу

Загроза заміни моделі машинного навчання

№1 з 220

Опис
Загроза полягає в можливості підміни порушником моделі машинного навчання, що використовується в інформаційній (автоматизованій) системі, що реалізує технології штучного інтелекту. Дана загроза обумовлена слабкостями розмежування доступу в інформаційних системах, що використовують машинне навчання, безпосереднього доступу до моделі машинного навчання

Джерело: Внутрішній порушник із високим потенціалом

Взаємодії
об'єкти: Програмне забезпечення (програми), яке використовує машинне навчання; моделі машинного навчання



1 крок. Формування експертних оцінок загроз, їх вплив на послуги безпеки, можливість ознак синергізму та гібридності, а також комплексування методів соціальної інженерії. Визначення впливу загрози на рівень інфраструктури (моделі ISO/OSI). При цьому формується матриця вагових коефіцієнтів:

$$S_{stthreats}^* = \left\| S_{stthreats_{ij}} \right\|,$$

де i – послуги безпеки, j – загроза, $j \in \overline{1 \dots K} \ N$.

Забезпечення послуг безпеки

Розподіл інформаційних ресурсів в інфраструктурі

	I (послуга забезпечується)	C (послуга забезпечується)	Au (послуга забезпечується)	A (послуга забезпечується)	Aff (послуга забезпечується)
Комерційна таємниця	<input type="checkbox"/>	<input type="checkbox"/>	<input checked="" type="checkbox"/>	<input checked="" type="checkbox"/>	<input checked="" type="checkbox"/>
Конфіденційна інформація	<input checked="" type="checkbox"/>	<input type="checkbox"/>	<input checked="" type="checkbox"/>	<input checked="" type="checkbox"/>	<input type="checkbox"/>
Персональні дані	<input type="checkbox"/>	<input checked="" type="checkbox"/>	<input checked="" type="checkbox"/>	<input checked="" type="checkbox"/>	<input checked="" type="checkbox"/>
Керуюча інформація	<input checked="" type="checkbox"/>	<input type="checkbox"/>	<input checked="" type="checkbox"/>	<input checked="" type="checkbox"/>	<input checked="" type="checkbox"/>
Кредитні документи	<input type="checkbox"/>	<input checked="" type="checkbox"/>	<input checked="" type="checkbox"/>	<input checked="" type="checkbox"/>	<input checked="" type="checkbox"/>
Платіжні документи	<input checked="" type="checkbox"/>	<input type="checkbox"/>	<input type="checkbox"/>	<input checked="" type="checkbox"/>	<input checked="" type="checkbox"/>
Статистичні звіти	<input checked="" type="checkbox"/>	<input type="checkbox"/>	<input checked="" type="checkbox"/>	<input checked="" type="checkbox"/>	<input checked="" type="checkbox"/>
Загальнодоступна інформація	<input checked="" type="checkbox"/>	<input checked="" type="checkbox"/>	<input checked="" type="checkbox"/>	<input checked="" type="checkbox"/>	<input type="checkbox"/>

2 крок. Формування матриці відповідності між інформаційними ресурсами та послугами безпеки:

$$S_{inf}^* = \left\| S_{inf_{il}} \right\|,$$

де l – інформаційний ресурс, $l \in \overline{1 \dots K} \ L$.

Під час заповнення матриці враховується необхідність надання відповідної послуги безпеки (1 – послуга, 0 – послуга не потрібна).

Розподіл інформаційних ресурсів в елементах інфраструктури

	Фізичний рівень	Мережевий рівень	Рівень операційних систем	Рівень систем управління базами даних	Рівень додатків і сервісів	Рівень Інтернету речей	Рівень системи захисту інформації	Інтегральний показник за інформаційними ресурсами
Комерційна таємниці	0.1052	0.1052	0.6707	0.6707	0.0042	0.0042	0.0042	0.2235
Конфіденційна інформація	0.0998	0.0998	0.6585	0.6585	0	0	0	0.2167
Персональні дані	0.25	0.25	1	1	0.1161	0.1161	0.1161	0.4069
Керуюча інформація	0.2495	0.2495	0.9987	0.9987	0.1157	0.1157	0.1157	0.4062
Кредитні документи	0.25	0.25	1	1	0.1161	0.1161	0.1161	0.4069
Платіжні документи	0.1011	0.1011	0.6616	0.6616	0.0011	0.0011	0.0011	0.2184
Статистичні звіти	0.2495	0.2495	0.9987	0.9987	0.1157	0.1157	0.1157	0.4062
Загальнодоступна інформація	0.2447	0.2447	0.9878	0.9878	0.112	0.112	0.112	0.4001
Інтегральний показник за елементами інфраструктури	0.1937	0.1937	0.872	0.872	0.0726	0.0726	0.0726	

Інтегральний показник: 0.3356



3 крок. Формування залежності між інформаційними ресурсами та рівнями інфраструктури (моделі ISO/OSI), де циркулює та/або зберігається інформація:

$$S_{ISO}^* = \left\| S_{ISO_{kl}} \right\|,$$

де k – наявність та тип зв'язку, елемент інфраструктури (рівень) де зберігається інформація, l – інформаційний ресурс, $l \in \forall 1K L$.

ЕТАПИ МЕТОДИКИ
ОЦІНКИ
ПОТОЧНОГО СТАНУ
ЗАХИЩЕНОСТІ
ІНФОРМАЦІЙНИХ
РЕСУРСІВ
КІБЕРФІЗИЧНИХ
СИСТЕМ



Забезпечення послуг безпеки для інформаційних ресурсів

	Комерційна таємниця	Конфіденційна інформація	Персональні дані	Керуюча інформація	Кредитні документи	Платіжні документи	Статистичні звіти	Загальнодоступна інформація	Інтегральний показник за послугами безпеки
Цілісність	0.2664	0.2585	0.4796	0.4788	0.4796	0.2605	0.4788	0.4717	0.3967
Конфіденційність	0.0048	0	0.1327	0.1322	0.1327	0.0012	0.1322	0.1279	0.083
Доступність	0.6588	0.6461	1	0.9986	1	0.6494	0.9986	0.9873	0.8674
Автентичність	0.528	0.5169	0.8265	0.8253	0.8265	0.5197	0.8253	0.8155	0.7105
Приналежність	0.3972	0.3877	0.6531	0.6521	0.6531	0.3901	0.6521	0.6436	0.5536
Інтегральний показник за інформаційними ресурсами	0.371	0.3618	0.6184	0.6174	0.6184	0.3642	0.6174	0.6092	

Інтегральний показник: 0.5222



4 крок. Формування залежності загроз та інформаційних ресурсів (оцінка критичності інфраструктури):

$$S_{inf/sthreats}^* = \left\| S_{inf_{lj}} \right\|,$$



що дозволяє визначити критичність несанкціонованого доступу до того чи іншого інформаційного ресурсу.



Забезпечення послуг безпеки в елементах інфраструктури

	Фізичний рівень	Мережевий рівень	Рівень операційних систем	Рівень систем управління базами даних	Рівень додатків і сервісів	Рівень Інтернету речей	Рівень системи захисту інформації	Інтегральний показник за послугами безпеки
Цілісність	0.1691	0.1691	0.5702	0.5702	0.0974	0.0974	0.0974	0.253
Конфіденційність	0.043	0.043	0.2837	0.2837	0	0	0	0.0933
Доступність	0.3582	0.3582	1	1	0.2436	0.2436	0.2436	0.4924
Автентичність	0.2951	0.2951	0.8567	0.8567	0.1948	0.1948	0.1948	0.4126
Приналежність	0.2321	0.2321	0.7135	0.7135	0.1461	0.1461	0.1461	0.3328
Інтегральний показник за елементами інфраструктури	0.2195	0.2195	0.6848	0.6848	0.1364	0.1364	0.1364	

Інтегральний показник: 0.3168



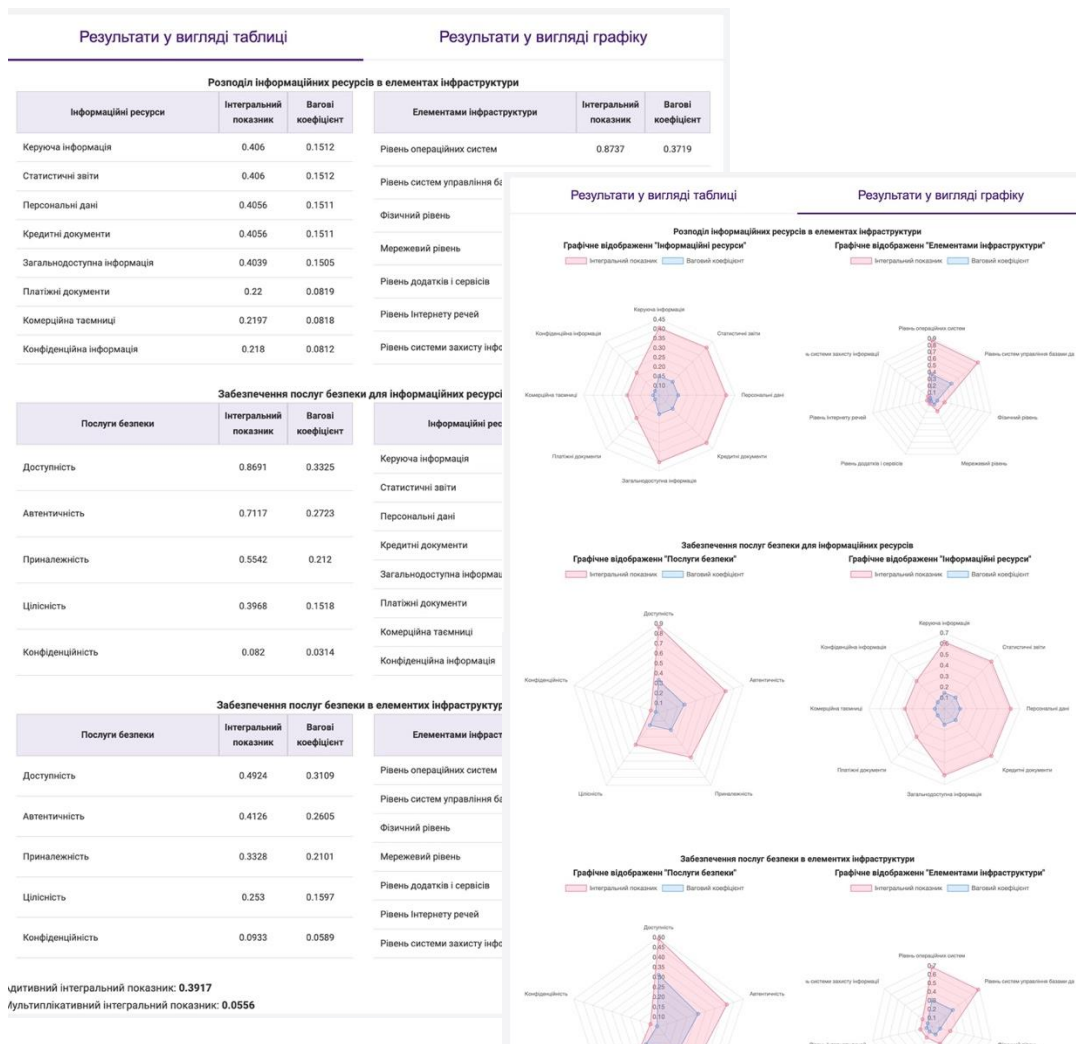
5 крок. Формування залежності загроз та елементів інфраструктури (рівень моделі ISO/OSI):

$$S_{sthreats/ISO}^* = \left\| S_{sthreats/ISO_{kj}} \right\|,$$



що дозволяє визначити критичні точки в інфраструктурі та заздалегідь визначити превентивні заходи безпеки.

ЕТАПИ МЕТОДИКИ
ОЦІНКИ
ПОТОЧНОГО СТАНУ
ЗАХИЩЕНОСТІ
ІНФОРМАЦІЙНИХ
РЕСУРСІВ
КІБЕРФІЗИЧНИХ
СИСТЕМ



6 крок. Формування оцінки захищеності соціокіберфізичної системи на основі аналізу 2 та 3 кроків (знаходження зв'язку між інформаційними ресурсами, елементами інфраструктури (критичними точками несанкціонованого доступу/витоку інформації) та послугами безпеки).

7 крок. Формування оцінки можливостей чинної системи захисту інформації протистояти загрозам:

$$S_{streats/protection\ system}^* = \left\| S_{streats/protection\ system_{qj}} \right\|,$$

де q – наявність механізму протидії загрозі.

8 крок. Формування оцінки регуляторів та законодавчих актів.

9 крок. Формування оцінки поточного стану системи безпеки. При цьому враховуються результати кроків 7–9.

ЕТАПИ МЕТОДИКИ
ОЦІНКИ
ПОТОЧНОГО СТАНУ
ЗАХИЩЕНОСТІ
ІНФОРМАЦІЙНИХ
РЕСУРСІВ
КІБЕРФІЗИЧНИХ
СИСТЕМ

Етап. 1. Формування кортежів кіберзагроз на основі експертної оцінки. Формування матриці метрик кіберзагроз:

$$S_{stthreats}^* = \left\| S_{stthreats_{ij}} \right\|, \text{ де } i - \text{ послуги безпеки } j - \text{ кіберзагрози}$$

Етап. 2. Формування матриці взаємозв'язків інформаційних ресурсів та необхідних послуг безпеки:

$$S_{inf}^* = \left\| S_{inf_{il}} \right\|, \text{ де } l - \text{ інформаційний ресурс}$$

Етап. 3. Формування матриці взаємозв'язків інформаційних ресурсів та елементів інфраструктури:

$$S_{ISO}^* = \left\| S_{ISO_{kl}} \right\|, \text{ де } k - \text{ наявність та тип зв'язку}$$

Етап. 4. Формування матриці взаємозв'язків інформаційних ресурсів та кіберзагроз:

$$S_{inf/stthreats}^* = \left\| S_{inf_{ij}} \right\|$$

Етап. 5. Формування матриці взаємозв'язків кіберзагроз та елементів інфраструктури:

$$S_{stthreats/ISO}^* = \left\| S_{stthreats/ISO_{kj}} \right\|$$

Етап. 6. Формування оцінки захищеності кіберфізичної системи на основі аналізу етапів 2 та 3. Оцінка взаємозв'язків інформаційних ресурсів, заходи їхньої конфіденційності, необхідності надання послуг безпеки та елементів інфраструктури

Етап. 7. Оцінка наявності спеціального механізму реалізації послуги безпеки та кіберзагрози:

$$S_{stthreats/protection\ system}^* = \left\| \Psi_{safety\ mechanism}^{SCPS} \right\| \cap \left\| Q_j \right\|$$

Етап. 8. Оцінка виконання вимог міжнародних регуляторів та законодавчих актів щодо забезпечення необхідного рівня захищеності інформаційних ресурсів

Етап. 9. Оцінка потокового стану рівня захищеності елементів інфраструктури та інформаційних ресурсів:

$$IS_{serv_abs} = \sum_{i \times l} S_{serv_{il}}$$

Окремо визначимо етап 7, який дозволяє оцінити можливості спеціальних механізмів забезпечення послуг безпеки автоматизованих систем передачі даних, та соціокіберфізичних систем. Для цього визначимо наступні складові запропонованого алгоритму

1 крок. Оцінка можливих АРТ-атак на елементи інфраструктури визначимо як

$$S_{malefactors/ISO}^* = \left\| S_{ISO_{pl}} \right\|, \text{ де } p - \text{ тип зловмисника.}$$

КАТЕГОРІЇ КОРИСТУВАЧІВ СОЦІОКІБЕРФІЗИЧНИХ СИСТЕМ





2 крок. Оцінка можливостей зловмисників (фінансові, обчислювальні, людські). Ваговий коефіцієнт «небезпеки» зловмисника визначимо за формулою:

$$P_{\text{malefactors}}^{SCPS} = \frac{1}{N} \sum_{i=1}^N \beta_p^{SCPS} i,$$

3 крок. Оцінка ймовірності реалізації АРТ-атак з урахуванням коефіцієнта «небезпеки» зловмисника визначимо як:

$$\|Q_j\| = p_{\text{malefactors}_j}^{SCPS} \times P_{\alpha}^j, \text{ де } j - \text{загроза, } \alpha - \text{ймовірність появи кіберзагрози,}$$

4 крок. Оцінка наявності спеціальних механізмів забезпечення послуг безпеки визначається відповідно

$$\Psi_{\text{safety mechanism}}^{SCPS} = \|F_{ij}\| \times \Psi_i,$$

5 крок. Оцінка превентивних заходів протидії АРТ-атак визначається:

$$S_{\text{sthreats/protection system}}^* = \|\Psi_{\text{safety mechanism}}^{SCPS}\| \mathbf{I} \|Q_j\|.$$

Вагові коефіцієнти Ψ_i наявності спеціальних механізмів забезпечення послуг безпеки та достовірності системи передачі даних

тип механізму	спеціальні механізми, які забезпечують:																			
	виявлення					сигналізацію					блокування									
	рівень стійкості					рівень стійкості					рівень стійкості									
	1	2	3	4	5	1	2	3	4	5	1	2	3	4	5					
IDS	+	+	+	+	+	+	+	+	+	+	-	-	-	-	-					
IPS	+	+	+	+	+	+	+	+	+	+	+	+	+	+	+					
SIEM	+	+	+	+	+	+	+	+	+	+	+	+	+	+	+					
тип механізму (біт)	механізми, які забезпечують послугу:																			
	конфіденційність					цілісність					автентичність					достовірність				
	рівень стійкості					рівень стійкості					рівень стійкості					рівень стійкості				
	1	2	3	4	5	1	2	3	4	5	1	2	3	4	5	1	2	3	4	5
Симетричні блокові шифри (БСШ)																				
БСШ з ключем 128	+	-	-	-	-	+	-	-	-	-	+	-	-	-	-	-	-	-	-	-
MAC+БСШ з ключем 256	+	+	-	-	-	+	+	-	-	-	+	+	-	-	-	-	-	-	-	-
БСШ з ключем 256	+	+	+	-	-	+	+	+	-	-	+	+	+	-	-	-	-	-	-	-
MAC+БСШ з ключем 256	+	+	+	+	-	+	+	+	+	-	+	+	+	+	-	-	-	-	-	-
БСШ з ключем 256	+	+	+	+	+	+	+	+	+	+	+	+	+	+	-	-	-	-	-	-
Симетричні поточні шифри (ПСШ)																				
рівномірний рух регістрів	+	+	+	-	-	+	+	+	-	-	+	+	+	-	-	+	+	+	-	-
нерівномірний рух регістрів	+	+	+	+	-	+	+	+	+	-	+	+	+	+	-	+	+	+	+	-
несиметричні алгоритми																				
Цифровий підпис (ЦП) на ЕС	+	+	+	-	-	+	+	+	-	-	+	+	+	-	-	-	-	-	-	-
на ЕС	+	+	+	+	-	+	+	+	+	-	+	+	+	+	-	-	-	-	-	-
постквантові алгоритми																				
ЦП	+	+	+	+	+	+	+	+	+	+	+	+	+	+	+	+	-	-	-	-
НСС на МЕС	+	+	+	+	+	+	+	+	+	+	+	+	+	+	+	+	+	+	+	+
ССС на МЕС (ЕС)	+	+	+	+	-	+	+	+	+	-	+	+	+	+	+	+	+	+	+	+
ССС на LDPC	+	+	+	-	-	+	+	+	-	-	+	+	+	-	-	+	+	+	+	+



Оцінка групового показника (OV_{IU_i}) обчислюється з оцінок, що входять до нього часткових показників ($OV_{IU_{ij}}$): $OV_{IU_i} = \frac{\sum_{j=1}^m IU_{ij}}{j}$

Оцінка ступеня виконання вимог за напрямом R_{BB_i} «поточний рівень ІБ організації» здійснюється за виразом:

$$R_{BB_i} = \min(OV_{БІТІ}, OV_{БІТІІ}, OV_{ooIP}, OV_{ozIP}),$$

Оцінка ступеня виконання вимог за напрямом «менеджмент ІБ організації» визначається виразом: $R_{BB_2} = k_{R_{BB_2}} \frac{\sum_{j=1}^m IU_{1j}}{j}$

Оцінка ступеня виконання вимог за напрямом «рівень усвідомлення ІБ організації» визначається виразом: $R_{BB_3} = k_{R_{BB_3}} \frac{\sum_{j=1}^m IU_{2j}}{j}$

Оцінка ступеня виконання вимог, що регламентують обробку БІР визначається виразом: $OV_{ooIP} = k_{ooIP} \frac{\sum_{j=1}^m IU_{3j}}{j}$

Оцінка ступеня виконання вимог, що регламентують банківський інформаційний технологічний процес визначається виразом: $R_{OV_{БІТІІ}} = k_{OV_{БІТІІ}} \frac{\sum_{j=1}^m IU_{4j}}{j}$

Оцінка ступеня виконання вимог, що регламентують банківський платіжний технологічний процес визначається виразом: $OV_{БІТІІІ} = k_{БІТІІІ} \frac{\sum_{j=1}^m IU_{5j}}{j}$

Оцінка ступеня захисту БІР з використанням криптографічних ЗЗІ визначається виразом: $OV_{ozIP} = k_{ozIP} \frac{\sum_{j=1}^m IU_{6j}}{j}$

j – номер приватного показника, $j = \overline{1, \dots, m}$.
де $k_{R_{BB_2}}, k_{R_{BB_3}}, k_{ooIP}, k_{OV_{БІТІІ}}, k_{БІТІІ}, k_{ozIP}$ – коригуючі коефіцієнти

Правила визначення коригувальних коефіцієнтів

коригувальний коефіцієнт	Кількість часткових показників, оцінки яких дорівнюють нулю (Повністю не виконуються)		
$k_{R_{BB_2}}$	0	1 – 15	більш 15
$k_{R_{BB_3}}$	0	1 – 20	більш 20
k_{ooIP}	0	1 – 25	більш 25
$k_{OV_{БІТІІ}}$	0	1 – 30	більш 30
$k_{БІТІІ}$	0	1 – 10	більш 10
k_{ozIP}	0	1 – 15	більш 15
Значення коригуючого коефіцієнта	1	0,85	0,7

Узагальнений показник рівня захищеності багатоконтурної інтелектуальної системи кіберзахисту дозволяє оцінити рівень відповідності технічних засобів захисту інформації вимогам регуляторів та визначається:

$$OPZ^{ABS} = \sum_{i=1}^k OPZ_i$$

ОЦІНКА ПОТОКОВОГО СТАНУ КІБЕРЗАГРОЗ



Вхідні параметри методу:

μ — розмір блоку,
 λ — кількість біт ДІ на один блок,
 T_i — застосовуване кодове слово.

$$T_1^+ = \begin{bmatrix} 1 & 1 & -1 & -1 \\ 1 & 1 & -1 & -1 \\ 1 & 1 & -1 & -1 \\ 1 & 1 & -1 & -1 \end{bmatrix}, \quad W_1^+ = \begin{bmatrix} 0 & 0 & 16 & 0 \\ 0 & 0 & 0 & 0 \\ 0 & 0 & 0 & 0 \\ 0 & 0 & 0 & 0 \end{bmatrix};$$

$$T_2^+ = \begin{bmatrix} 1 & 1 & 1 & 1 \\ 1 & 1 & 1 & 1 \\ -1 & -1 & -1 & -1 \\ -1 & -1 & -1 & -1 \end{bmatrix}, \quad W_2^+ = \begin{bmatrix} 0 & 0 & 0 & 0 \\ 0 & 0 & 0 & 0 \\ 16 & 0 & 0 & 0 \\ 0 & 0 & 0 & 0 \end{bmatrix};$$

$$T_3^+ = \begin{bmatrix} 1 & 1 & -1 & -1 \\ 1 & 1 & -1 & -1 \\ -1 & -1 & 1 & 1 \\ -1 & -1 & 1 & 1 \end{bmatrix}, \quad W_3^+ = \begin{bmatrix} 0 & 0 & 0 & 0 \\ 0 & 0 & 0 & 0 \\ 0 & 0 & 16 & 0 \\ 0 & 0 & 0 & 0 \end{bmatrix};$$

$$T_4^+ = \begin{bmatrix} 1 & 1 & 1 & 1 \\ 1 & 1 & 1 & 1 \\ 1 & 1 & 1 & 1 \\ 1 & 1 & 1 & 1 \end{bmatrix}, \quad W_4^+ = \begin{bmatrix} 16 & 0 & 0 & 0 \\ 0 & 0 & 0 & 0 \\ 0 & 0 & 0 & 0 \\ 0 & 0 & 0 & 0 \end{bmatrix}.$$

Набір кодових слів порядку $N = 4$, що забезпечують стійкість до атак проти вбудованого повідомлення

Крок 3. Для кожного Δ_r визначити: $\sigma_j = \max_j \sigma_j$

при цьому $T_j^?$ - декодоване кодове слово, знак знайденого максимуму відповідає знаку, з яким $T_j^?$ було вбудовано (прямий або інверсний вигляд).

Вбудовування ДІ

Крок 1. Розбити стандартним чином $m \times n$ - матрицю контейнера P на $\mu \times \mu$ -блоки. Нехай B — довільний блок, що використовується для вбудовування ДІ.

Крок 2. Визначити J — загальна кількість кодових слів;
 $\lambda = \log_2 J$

— кількість біт ДІ, що вбудовуються в кожний черговий блок контейнера.

Крок 3. Сформувати $m|\mu \times n|\mu$ - матрицю ДІ \bar{D} , кожний елемент d_{ij} якої визначається λ бітами ДІ, що вбудовуються у відповідний блок B .

Крок 4. Провести кодування \bar{D} шляхом подання кожного d_{ij} за допомогою кодових слів $\{T_i^+\}$ та їх інверсій $\{T_i^-\}$. Результат — $m \times n$ - матриця D .

Крок 5. Вбудувати ДІ в контейнер відповідно до формули: $M = P + D$ де M — матриця стеганоповідомлення.



Декодування ДІ

Крок 1. Побудувати $m \times n$ - матрицю:

$$W = \bar{M} - P$$

де \bar{M} — матриця можливо збуреного стеганоповідомлення.

Розбити W стандартним чином на $\mu \times \mu$ - блоки Δ_r , $r = 1, 2, \dots, m\mu$.

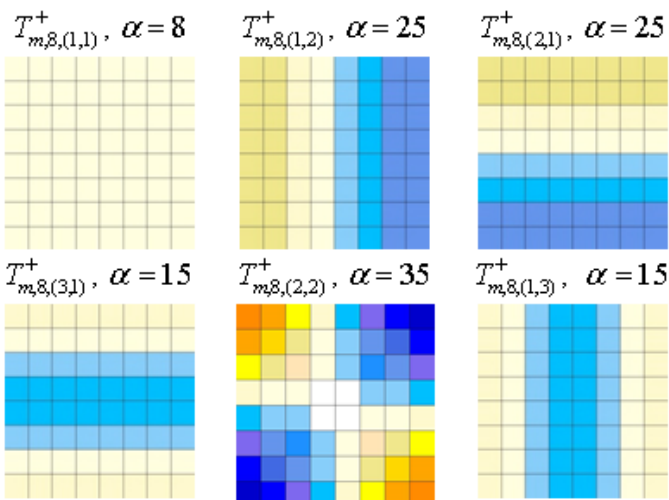
Крок 2. Для кожної T_i^+ і кожної Δ_r розрахувати

$$\sigma_j = \sum_{l=0}^{\mu-1} \sum_{k=0}^{\mu-1} \Delta_r(l, k) T_i^+(l, k) \quad j = 0, 1, \dots, J/2 - 1$$



Вхідні параметри методу:

- μ — розмір блоку,
- α — амплітуда впливу,
- T_i — застосоване кодове слово.



Розшифровка кольорів

	1		2		3		4
	5		6		7		8
	-1		-2		-3		-4
	-5		-6		-7		-8

Кодові слова з високою селективністю для $\mu=16$

Розбити W стандартним чином на $\mu \times \mu$ - блоки $\Delta_r, r = 0, 1, \dots, mn-$

Крок 2. Для кожного Δ_r вилучити відповідний біт \bar{p} ДІ

$$\bar{p} = \text{sign} \left(\sum_{i,j=0}^{\mu-1} \Delta_r(i,j) T_{m,\mu,(k,l)}^+(i,j) \right)$$

Вбудовування ДІ

Крок 1. Розбити стандартним чином $m \times n$ - матрицю контейнера P на $\mu \times \mu$ - блоки, що не перетинаються. Нехай B — довільний блок, що використовується для вбудовування ДІ.

Крок 2. Задати цільову трансформанту ДКП (k,l) , і значення амплітуди впливу α . Побудувати вектор Z і матрицю $A_{1\mu^2}$, де матриця A_1 розраховується для ДКП відповідно до Твердження 2, V — вектор-рядок, що представляє шукане кодове слово, Z — вектор-рядок, що складається з усіх нулів і значення α на позиції $N \cdot n + m$, що відповідає (n, m) трансформанті ДКП при їх представленні за допомогою двовимірного ДКП.

Крок 3. Розв'язати систему рівнянь $V \cdot A_1 = Z$. Результат — вектор V .

Крок 4. Округлити елементи V до найближчого цілого, записати у вигляді m -кової $\mu \times \mu$ - матриці. Результат — кодові слова $T_{m,\mu,(k,l)}^+, T_{m,\mu,(k,l)}^-$

Крок 5. Вбудувати у блок B черговий біт ДІ p

Якщо : $p = 0$

то : $M = B + T_{m,\mu,(k,l)}^+$

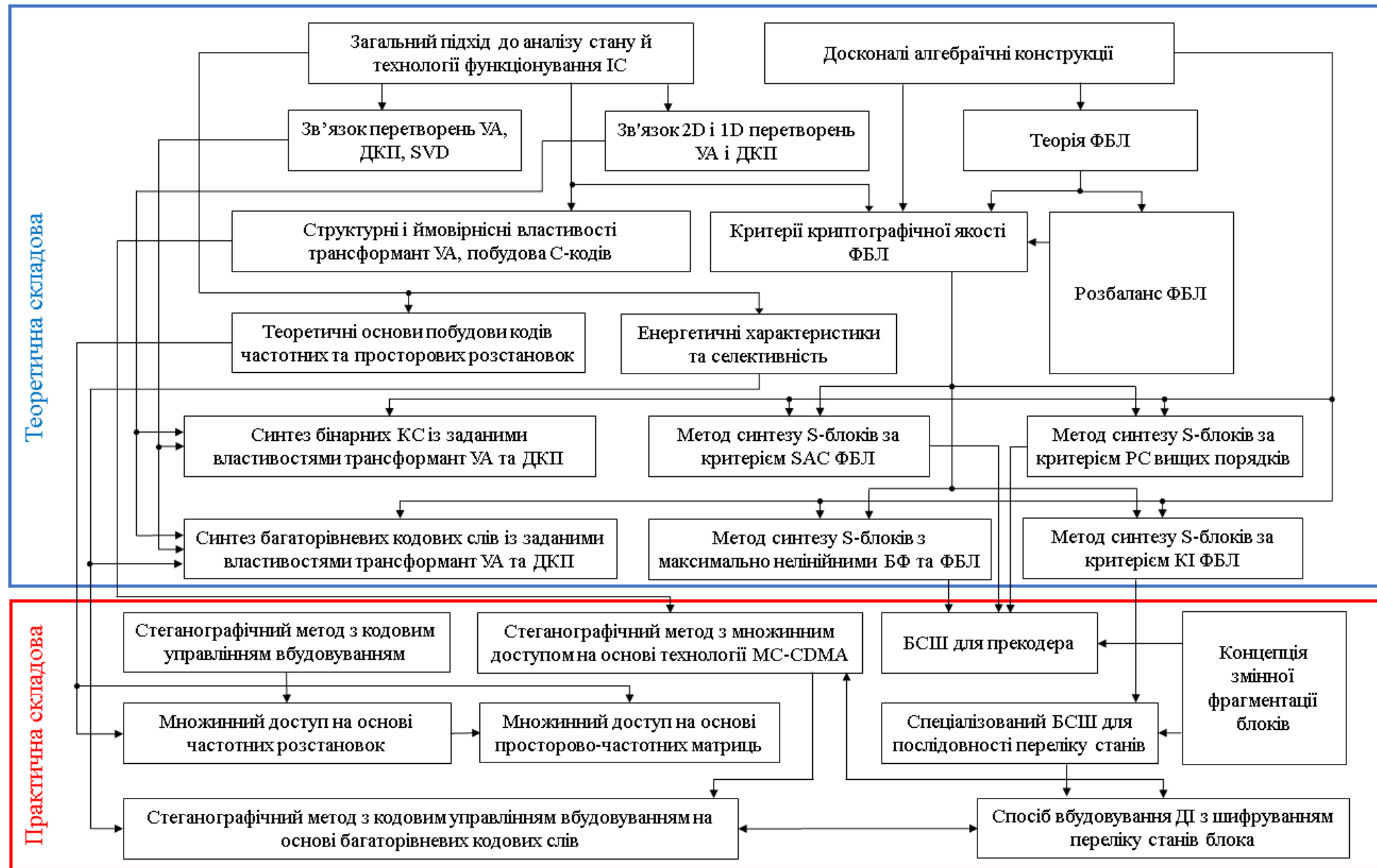
інакше : $M = B + T_{m,\mu,(k,l)}^-$



Вилучення ДІ

Крок 1. Побудувати $m \times n$ - матрицю: $W = \bar{M} - P$ де \bar{M} — матриця можливо збуреного стеганоповідомлення.

СТРУКТУРНА СХЕМА
РОЗРОБЛЕНОЇ
МЕТОДОЛОГІЇ
ОБ'ЄДНАННЯ
КРИПТОГРАФІЧНОЇ ТА
СТЕГНОГРАФІЧНОЇ
СКЛАДОВОЇ У КРИПТО-
СТЕГНОГРАФІЧНУ
СИСТЕМУ





Вперше створено теоретичні основи кодового управління, що включають встановлений взаємозв'язок між трансформантами перетворення Уолша-Адамара, дискретного косинусного перетворення та сингулярного розкладання матриці, достатні умови забезпечення надійності сприйняття та нечутливості стеганоповідомлення до збурень, а також теоретичний базис для синтезу ефективних кодових слів. Розроблено та практично апробовано стеганографічний метод з кодовим управлінням, який перевищує сучасні аналоги за ефективністю, забезпечує надійне приховування додаткової інформації та стабільну роботу в режимі реального часу на ресурсообмежених платформах.

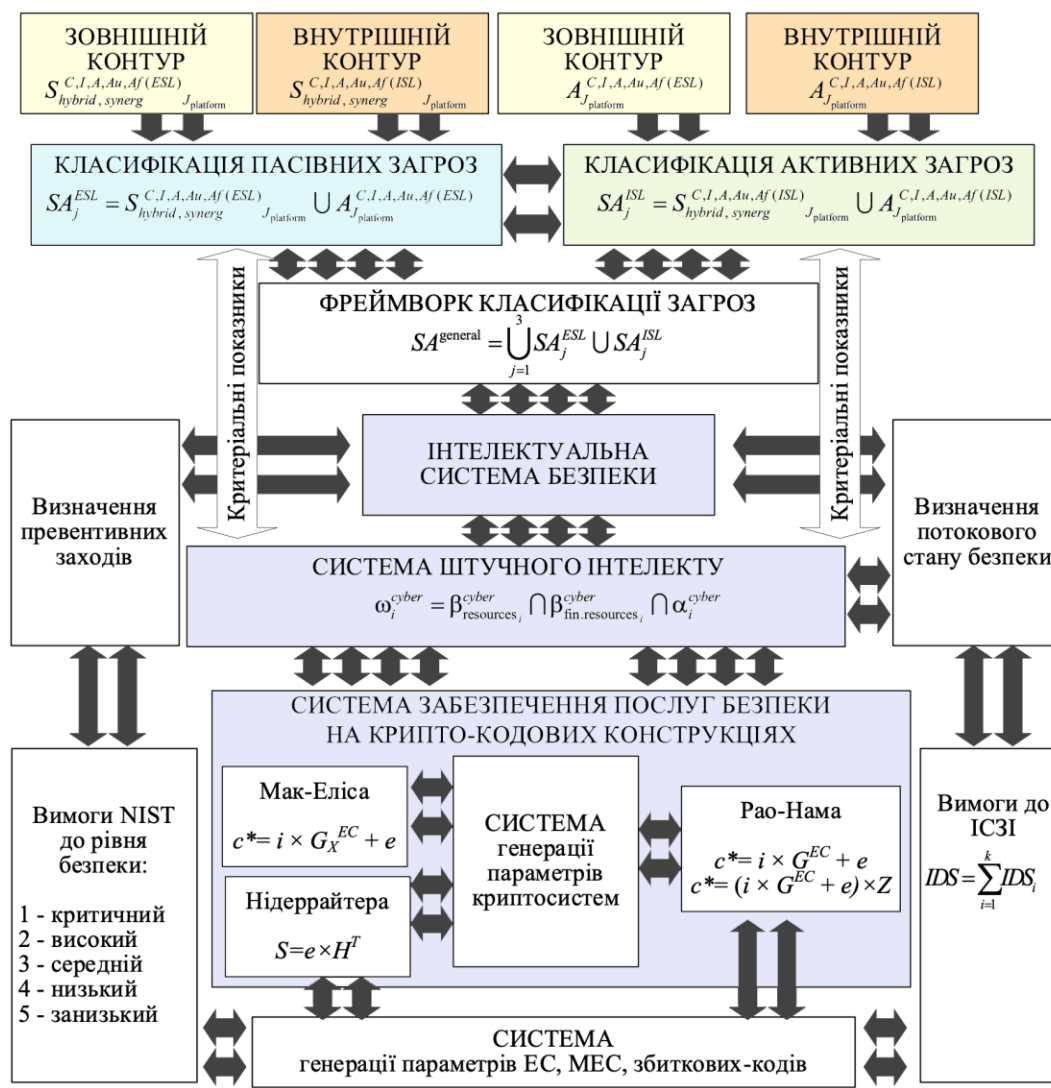
Вперше створено теоретичні засади синтезу багаторівневих кодових слів із селективним впливом на частотні складові контейнера, що дозволило розробити новий стеганографічний метод, який за рівнем стійкості до атак проти вбудованого повідомлення перевищує як відомі аналоги, так і стеганографічний метод з кодовим управлінням на основі бінарних кодових слів.

Вперше запропоновано науково-обґрунтовану методологію розробки крипто-стеганографічної системи, яка забезпечує високу ефективність як криптографічної, так і стеганографічної складової, зокрема на ресурсообмежених платформах, на відміну від існуючих сучасних аналогів.



КЛАСИФІКАЦІЯ ЗЛОВМИСНИКІВ

$$A_i^{cyber} \in \{A_i^{cyber}\} \quad \lambda_i^{cyber} = (\omega_i^{cyber}) \times p_i \times \psi_{motiv} \quad (16)$$



Оцінку загальної загрози реалізації загроз внутрішнього контуру визначимо:

$$SA_j^{ESL} = S_{hybrid, synerg}^{C,I,A,Au,Af(ESL)} \cup A_{J_{platform}}^{C,I,A,Au,Af(ESL)}$$

Оцінку загальної загрози реалізації загроз зовнішнього контуру визначимо:

$$SA_j^{ISL} = S_{hybrid, synerg}^{C,I,A,Au,Af(ISL)} \cup A_{J_{platform}}^{C,I,A,Au,Af(ISL)}$$

Фреймворк класифікації загроз забезпечує узагальнення експертних оцінок загроз з урахуванням їх комплексування та об'єднання:

$$SA^{general} = \bigcup_{j=1}^3 SA_j^{ESL} \cup SA_j^{ISL}$$

Для врахування рівня захисту, можливостей зловмисника, та ймовірності реалізації визначимо показник «можливостей» порушника:

$$\omega_i^{cyber} = \beta_{resources_i}^{cyber} \cap \beta_{fin.resources_i}^{cyber} \cap \alpha_i^{cyber}$$

Такий підхід забезпечує для кожної платформи інфраструктури мережі побудову як зовнішнього контуру захисту, так й внутрішнього, що забезпечує підвищення рівня об'єктивності оцінки загроз, їх комплексування з методами соціальної інженерії, та активними діями терористів.

СТРУКТУРНА СХЕМА ІНТЕЛЕКТУАЛЬНОЇ СИСТЕМИ ЗАХИСТУ ІНФОРМАЦІЇ

- Вимоги NIST до рівня безпеки:
- 1 - критичний
 - 2 - високий
 - 3 - середній
 - 4 - низький
 - 5 - занизький

Вимоги до ІСЗІ

$$IDS = \sum_{i=1}^k IDS_i$$

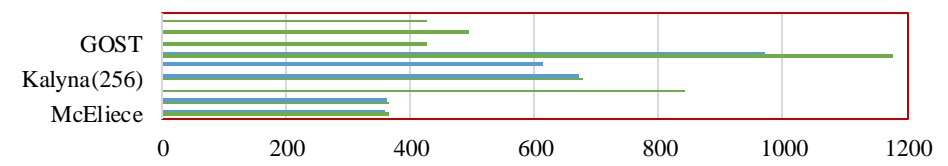


**МЕХАНІЗМИ
ТА МОДЕЛІ
ЗАБЕЗПЕЧЕННЯ
ПОСЛУГ
БЕЗПЕКИ
ОБ'ЄКТІВ
КРИТИЧНОЇ
ІНФРАСТРУКТУРИ**

Властивість	Укорочені МЕС	Подовжені МЕС
(n, k, d) параметри коду, який побудований через відображення виду $\varphi: X \rightarrow P^{k-1}$	$n = 2\sqrt{q} + q + 1 - x,$ $k \geq a - x, d \geq n - a,$ $a = 3 \times \deg F,$ $k + d \geq n$	$n = 2\sqrt{q} + q + 1 - x + x_1,$ $k \geq a - x + x_1, d \geq n - a,$ $a = 3 \times \deg F$
$n, k, d)$ параметри коду, який побудований через відображення виду $\varphi: X \rightarrow P^{r-1}$	$n = 2\sqrt{q} + q + 1 - x,$ $k \geq n - a, d \geq a,$ $a = 3 \times \deg F, k + d \geq n$	$n = 2\sqrt{q} + q + 1 - x + x_1,$ $k \geq n - a, d \geq a,$ $a = 3 \times \deg F$

Властивість	Укорочені МЕС	Подовжені МЕС
розмірність секретного ключа	$l_{k+} = x \times \lceil \log_2(2\sqrt{q} + q + 1) \rceil$	$l_{k+} = (x - x_1) \times \log_2(2\sqrt{q} + q + 1)$
розмірність інформаційного вектора	$l_I = (a - x) \times m$	$l_I = (a - x + x_1) \times m$
розмірність криптограми	$l_S = (2\sqrt{q} + q + 1 - x) \times m$	$l_S = (2\sqrt{q} + q + 1 - x + x_1) \times m$
відносна швидкість передачі	$R = (a - x) / (2\sqrt{q} + q + 1 - x)$	$R = (a - x + x_1) / (2\sqrt{q} + q + 1 - x + x_1)$

Властивість	Укорочені LDPC-коди	Подовжені LDPC-коди
(N, k) параметри коду	$N = 2\sqrt{q} + q + 1 - x, k \leq N$	$N = 2\sqrt{q} + q + 1 - x + x_1, k \leq N$
Довжина відкритого тексту	$l_I = l_I^e + l_I^f$	$l_I = 1/2k \times m + l_I^e + l_I^f$
Довжина кодограми (в бітах)	$l_S = (2\sqrt{q} + q + 1 - 1/2k) \times m;$	$l_S = (2\sqrt{q} + q + 1 - 1/2k + 1/2k) \times m.$
Довжина відкритого ключа (в бітах)	$l_K = 1/2k \times (2\sqrt{q} + q + 1 - 1/2k)$	$l_K = 1/2k \times (2\sqrt{q} + q + 1 - 1/2k + 1/2k) \times m.$
Довжина закритого ключа (в бітах)	$l_{K+} = 1/2k \lceil \log_2(2\sqrt{q} + q + 1) \rceil$	$l_{K+} = (1/2k - 1/2k) \lceil \log_2(2\sqrt{q} + q + 1) \rceil$
Складність формування кодограми для систематичного кодування	$O_K = (r+1) \times (2\sqrt{q} + q + 1 - 1/2k) + O\left(\frac{1 - K_C^u}{K_r} \times L\right);$	$O_K = (r+1) \times (2\sqrt{q} + q + 1 - 1/2k + 1/2k) + O\left(\frac{1 - K_C^u}{K_r} \times L\right);$
Складність формування кодограми для несистематичного кодування	$O_K = O_K = (k+1) \times (k+1) \times (2\sqrt{q} + q + 1 - 1/2k) + O\left(\frac{1 - K_C^u}{K_r} \times L\right);$	$O_K = (k+1) \times (2\sqrt{q} + q + 1 - 1/2k + 1/2k) + O\left(\frac{1 - K_C^u}{K_r} \times L\right).$
Складність декодування кодограми	$O_{sk} = 2 \times (2\sqrt{q} + q + 1 - 1/2k)^2 + 1/2k^2 + 4t^2 + (t^2 + t - 2)^2 / 4 + O\left(\frac{\alpha - z \times \log k}{ K_C^u \times L}\right);$	$O_{sk} = 2 \times (2\sqrt{q} + q + 1 - 1/2k + 1/2k)^2 + k^2 + 4t^2 + (t^2 + t - 2)^2 / 4 + O\left(\frac{\alpha - z \times \log k}{ K_C^u \times L}\right).$
Складність процесу декодування	$O_{K+} = N_{\text{нап}} \times (2\sqrt{q} + q + 1 - 1/2k) \times r + N_{F_{\text{об}}} (N_K),$	$O_{K+} = N_{\text{нап}} \times (2\sqrt{q} + q + 1 - 1/2k + 1/2k) \times r + N_{F_{\text{об}}} (N_K).$



	McEliece	Niederreiter	Kalyna(128)	Kalyna(256)	Kalyna(512)	AES	GOST	BelT	Kuznyechik
256 bit	357.534	361.239		673.174	614.239	971.725			
128 bit	365.551	366.614	842.061	678.096		1177.95	427.362	495.39	425.908

Оцінка швидкодії криптоперетворень



Запропоновано методологію синтезу моделей інтелектуальних систем управління та безпеки об'єктів критичної інфраструктури, що спрямована на підвищення рівня захищеності інформаційних ресурсів та модернізацію існуючих систем захисту інформації.

Розроблено підхід до побудови багатоконтурних систем захисту, що враховує фізичні складові інфраструктури та формує зовнішній і внутрішній контури безпеки.

Удосконалено метод оцінювання рівня безпеки інформаційних ресурсів на основі комплексного показника ефективності інвестицій, що дозволяє оптимізувати витрати на управління та безпеку. Синтезовано методи забезпечення конфіденційності, цілісності та автентичності державних інформаційних ресурсів на гібридних крипто-кодових конструкціях зі збитковими кодами, що підвищує стійкість до атак.

Удосконалено класифікатор загроз для інтелектуальних систем управління та безпеки об'єктів критичної інфраструктури, що забезпечує більш точну ідентифікацію та класифікацію небезпек.

Запропонована методологія синтезу моделей інтелектуальних систем управління та безпеки об'єктів критичної інфраструктури, яка забезпечує об'єктивну оцінку будь-якої інфраструктури об'єктів критичної інфраструктури (будь-якої галузі), підтверджуючи її універсальність.

ВИСНОВКИ



ВИСНОВКИ

Розроблено методологію синтезу моделей інтелектуальних систем управління та безпеки об'єктів критичної інфраструктури, яка базується на концепції побудови синергетичної моделі загроз.

Встановлено залежність рівня захищеності контуру бізнес-процесів системи безпеки від часу перемикання з захисту одного вектору безпеки до іншого, демонструючи кількісну оцінку впливу цього параметра на ефективність захисту.

Запропоновано ефективний з позицій витрачених коштів на управління та безпеку підхід до модернізації чинних та створення перспективних інтелектуальних систем управління та безпеки об'єктів критичної інфраструктури держави на основі розробленої методології.

Запропоновано застосування гібридних крипто-кодових конструкцій зі збитковими кодами для забезпечення конфіденційності, цілісності та автентичності державних інформаційних ресурсів в інтелектуальних системах управління та безпеки об'єктів критичної інфраструктури.